

Adatok a börzsönyi vulkanitok magmafejlődésének korai, bazaltos szakaszához

Dr. Embey-Isztin Antal*, Noskené Dr. Fazekas Gabriella*

(6 ábrával, 4 táblázattal, 4 táblával)

A Börzsöny-hegység a Belső-Kárpátok vulkáni láncának tagja. Tipikus rétegvulkán, legalábbis a hegység É-i részén, amely lávafolyásokból és tufarétegekből épül fel (PANTÓ, 1970). Az uralkodó andezites kőzetek mellett jóval savanyúbb vulkanitok, pl. dácitok is részt vesznek a terület felépítésében, de a hegységben a bázisos kőzetek teljesen hiányoznak. (FERENCZI, 1935; PANTÓ, 1970; PAPP, 1933; SZENTPÉTÉRY, 1926.) A godovári kristályos tufa részletes ásvány-közöttani vizsgálata azonban mélyszintű bázisos magmatizmusra utaló bizonyítékokat szolgáltatott.

Kőzetleírás

A Börzsöny-hegység vulkáni kőzetei közül a hegység északi részén levő godovári tufa nagy fenokristályai által tűnik ki: 2 cm-t elérő amfibolok, 0,8 cm nagyságú piroxének és 1–4 mm-es plagioklász kristályok építik fel a kőzetet. Az ilyen méretű kristályok nagy gyakorisága miatt kristálytufának nevezhetjük a képződményt. (I. tábla 1. kép.) Elsőként LIEFA A. és VIGH Gy. (1937) írták le a kristálytufát, de részletes közöttani vizsgálatára korábban nem került sor.

Makroszkóposan az *amfibói fekete*, míg vékonycsiszolatban barna, erős pleokroizmussal, $\gamma/c = 8-18^\circ$. A kisebb kristályok tökéletesen sajátalakúak, míg a nagyobbak gyakran xenomorfok, rezorpció nyomaival. Néhány esetben az amfibolokat opacitos szegély veszi körül (I. táblázat 2. kép). Ezen kívül számos amfibol zónásságot mutat: általában világosabb maggal, amelyet sötétebb szegély vesz körül (II. táblázat 1. kép). Néhány esetben azonban a zónásság komplex módon mutatkozik: sötétebb és világosabb zónák váltakoznak egymással (II. tábla 2. kép), több esetben pedig csak egyetlen világos zóna látható, mely „szendvicsként” jelenik meg két sötét zóna között.

A *monoklin piroxén* szintén mutat színbeli különbséget a mag és a külső zóna között, ami makroszkóposan szembetűnőbb, mint vékonycsiszolatban. A piroxén kristály magja halványzöld, amelyet sötétebb zöld szegély vesz körül. Vékonycsiszolatban a mag majdnem színtelen, a szegély pedig halványzöld (III. tábla, 1. kép). $\gamma/c = 30-38^\circ$, ami a szegélyen valamivel kisebb. Az amfibolokhoz hasonlóan, egyes piroxénkiályok zónásságot mutatnak, sőt a piroxének esetében ez a jelenség talán valamivel gyakoribb. Vannak

* Természettudományi Múzeum, Ásvány-Közöttár, H-1088 Budapest, VIII. Múzeum körút 14–16.
Előadták az Ásványtani-Geokémiai Szakosztály 1982. szeptember 13-i ülésén.

azonban teljesen homogén kristályok, esetleg egyetlen, vékony, sötétebb szegéllyel, máskor a kis mag egészen nyilvánvaló módon különül el tökéletes kristályfelületével (III. tábla, 2. kép), mintegy bizonyítva, hogy a kristályosodás nem volt folyamatos. Emellett, a szín-zónásságon kívül egy másik, finom, koncentrikusan oszcilláló zónásság is létezik, amely a váltakozó kioltásban jelenik meg. Ez utóbbi, valószínűleg gyors, nem egyensúlyi kristályosodás eredménye. A piroxének kevésbé korrodáltak, mint az amfibolok, gyakoriak a szép, idiomorf kristályok. Míg egyes esetekben az egész kristály optikailag homogén, más szemcsékben a kioltás változó vagy mozaikstruktúrát mutat. A zónásságnak és a finom struktúrának ez a meglepő változatossága, meglehetősen komplex és változatos fiziko-kémiai viszonyokra utal a kristályosodás története során.

A tufában tökéletesen kialakult plagioklászok és kristálytöredékek egyaránt gyakoriak. A plagioklászok optikailag erősen zónásak, amiiből aránylag gyors, nem egyensúlyi kristályosodásra következtethetünk. Csaknem kivétel nélkül ikerkristályok, amelyek a Fedorov-asztalos vizsgálatok alapján albit, karlsbadi, aklin, ala, albit-karlsbadi és albit-ala ikertörvények szerintiek.

Az alapanyag finom eloszlású üvegből, mikrolitekből és opak szemesékből áll. Ez utóbbiak szemcsenagysága igen változó. Helyenként kisebb lávadarabok is részt vesznek a kőzet felépítésében.

Texturális bizonyítékok alapján a kristályosodási sorrend megállapítása nem könnyű. A klinopiroxénekben pl. sokkal gyakoribbak az amfibolzárványok, mint fordítva (igaz azonban, hogy ezt inkább késői amfibolosodásnak tarthatjuk a morfológiai belyegek alapján). Azokban a titka esetekben, amikor amfibol és monoklin piroxén összenövését észleljük, körvonalaikból itélve, a piroxén idősebbnek tűnik, gyakoribb azonban az az eset, amikor a két ásvány közötti összenövés szabálytalan, minden irányítottság nélküli (IV. tábla, 1. kép), amiiből a kétfele kristály képződésének nagyobb szakaszában egyidejű kialakulásra következtethetünk. Sőt, bizonyítékok vannak a klinopiroxén zöld szélének és az amfibol kristályok sötét szegélye kialakulásának utólagos voltára, mivel az összenőtt piroxének és amfibolok határán ez a sötétebb zóna sohasem észlelhető. Kétségtelen azonban, hogy néhány esetben az amfibol a piroxénnél később kezdett kivárti, amikor is korrodált klinopiroxén szemcsét amfibol nő körül (IV. tábla, 2. kép). A piroxén kristályok egy része hősćesen tartalmaz opak zárványokat, míg az amfibolok zárványokban aránylag szegényebbek, jóllehet ritkábban földpátoikkal együtt opak szemcséket észleltünk az amfibolokban, amiiből esetleg egy kisebb mértékű, sekély szinten történő másodlagos megolvadásra következtethetünk. Ugyancsak nem egyszerű a plagioklászok kristályosodási sorrendjének megállapítása. Néha amfibolok zárványaként észlelhetők, de többnyire csak az amfibolok külöző zónáiban. Egy kisméretű cognate zárványban opak ásványt tartalmazó hipidiomorf piroxéneket nagyobb, hipidiomorf amfibolok és plagioklászok vesznek körül, és ezt az együttest végül plagioklász táblácskák koszorúzzák. Ebből a következő kiválasztott sorrend tűnik a legvalószínűbbnek: oxidok → klinopiroxén → amfibol → plagioklász. Ámbár a piroxén és az amfibol kristályosodása közötti átfedés nagyon valószínű, csakúgy, mint az amfibol és a plagioklász esetében.

Klinopiroxén elemzések
Clinopyroxene analyses

I. táblázat - Table I.

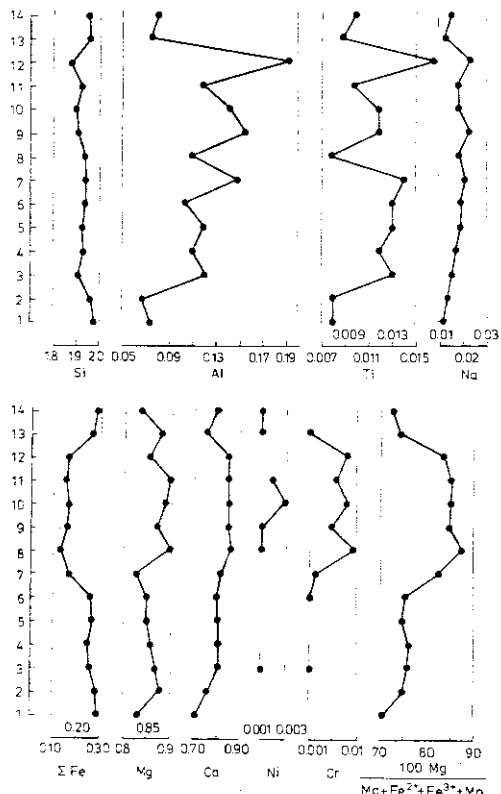
	1	2	3.	4.	5.	6.	7.	8.	9.	10.	11.	12.	13.	14.	15.
SiO ₂	52,8	53,1	50,9	51,5	51,7	54,3	63,9	51,8	52,4	52,8	53,1	52,3	52,6	50,57	50,93
Al ₂ O ₃	1,69	1,55	2,70	2,62	2,37	3,80	2,52	3,60	3,30	2,78	1,74	1,88	1,98	4,41	3,37
TiO ₂	0,29	0,28	0,45	0,44	0,45	0,54	0,39	0,45	0,38	0,34	0,35	0,24	0,41	0,68	
Cr ₂ O ₃	0,00	0,01	0,03	0,00	0,02	0,00	0,34	0,17	0,22	0,22	0,04	0,01	0,42	0,17	0,00
Fe ₂ O ₃	—	—	—	—	—	—	—	—	—	—	—	—	—	2,45	4,07
FeO	10,2	8,9	8,2	8,1	8,2	8,5	4,2	4,9	5,0	4,9	8,9	9,2	4,0	2,27	2,55
MnO	0,49	0,43	0,21	0,27	0,33	0,07	0,03	0,05	0,01	0,06	0,39	0,41	0,14	0,11	0,22
MgO	14,9	15,9	15,4	15,3	15,3	15,4	15,8	15,9	16,4	16,6	15,1	15,0	16,3	15,76	15,10
CaO	17,8	19,4	20,1	20,1	20,2	21,7	22,3	22,1	21,9	19,4	20,3	22,0	22,68	22,31	
Na ₂ O	0,17	0,18	0,21	0,24	0,26	0,30	0,27	0,32	0,27	0,26	0,18	0,22	0,31	0,05	0,56
K ₂ O	0,06	0,03	0,03	0,02	0,03	0,05	0,03	0,03	0,01	0,03	0,02	0,03	0,02	0,15	0,00
NiO	0,00	0,00	0,02	0,00	0,01	0,00	0,05	0,05	0,10	0,08	0,04	0,09	0,00	0,00	0,00
Total	98,40	99,78	98,26	98,49	98,87	101,55	100,04	99,27	100,34	100,01	100,25	99,73	97,90	99,63	99,79
Si	1,987	1,968	1,980	1,930	1,937	1,960	1,940	1,911	1,913	1,931	1,959	1,960	1,959	1,981	1,978
Al ^V	0,013	0,022	0,080	0,064	0,063	0,060	0,080	0,088	0,087	0,069	0,041	0,049	0,041	0,139	0,122
Al ^{VI}	0,062	0,086	0,040	0,047	0,042	0,102	0,048	0,067	0,065	0,061	0,036	0,034	0,046	0,053	0,025
Ti	0,008	0,008	0,013	0,012	0,013	0,014	0,008	0,012	0,012	0,010	0,009	0,010	0,007	0,011	0,019
Cr	0,000	0,000	0,001	0,000	0,001	0,002	0,010	0,005	0,009	0,000	0,001	0,000	0,012	0,005	0,000
Fe ⁺	—	—	—	—	—	—	—	—	—	—	—	—	—	0,068	0,112
Fe ³⁺	0,321	0,278	0,269	0,254	0,257	0,165	0,188	0,151	0,163	0,150	0,275	0,287	0,124	0,070	0,079
Mn	0,015	0,013	0,007	0,008	0,010	0,002	0,001	0,001	0,000	0,002	0,012	0,013	0,004	0,003	0,020
Mg	0,835	0,878	0,866	0,857	0,854	0,824	0,913	0,874	0,892	0,903	0,885	0,834	0,905	0,864	0,830
Ca	0,728	0,750	0,812	0,809	0,811	0,833	0,871	0,870	0,865	0,858	0,867	0,811	0,878	0,894	0,882
Na	0,012	0,013	0,015	0,017	0,019	0,021	0,019	0,023	0,019	0,018	0,013	0,016	0,015	0,046	0,040
K	0,003	0,001	0,001	0,001	0,001	0,002	0,001	0,001	0,001	0,001	0,001	0,001	0,001	0,007	0,000
Ni	0,000	0,000	0,001	0,000	0,000	0,000	0,001	0,001	0,002	0,001	0,000	0,000	0,000	0,000	0,000
Atom%															
Mg	44,3	46,3	44,5	44,4	44,2	45,1	47,7	46,1	46,7	47,3	46,6	42,9	47,5	45,6	43,6
Fe	17,8	14,9	18,7	18,6	18,8	9,2	6,8	8,0	8,0	7,9	14,8	10,4	6,5	7,3	10,0
Cu	38,0	39,8	41,8	42,0	42,0	45,7	45,5	45,0	45,3	44,8	39,8	41,7	48,0	47,1	46,4
mg	71,3	75,2	76,5	76,6	76,1	83,1	87,6	85,1	85,4	85,6	73,6	87,6	86,2	81,3	

1—12: A Gv-2b keresztező elemzései 13: Gv-2b/A mag 14: szeparált latíványzid szemcsék, főleg a belső zónákból 15: szeparált zöld szemcsék, főleg a külső zónákból. FeO egyenlő az összesen, ha Fe₂O₃ nincs megadva.

No. 1—12: Analyses from traverse Gv-2b. No. 13: core of Gv-2b/A. No. 14: separated pale green grains mainly from the inner zones; No. 15: separated green grains mainly from the border zones. FeO signifies total Fe if Fe₂O₃ is not given.

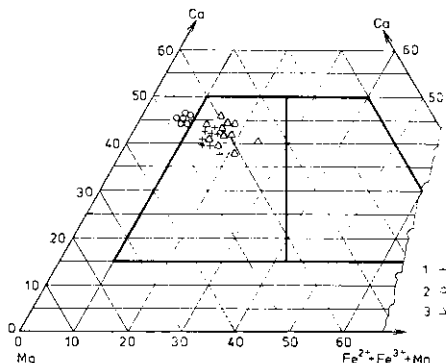
A kémiai elemzés eredményei

Számos mérést készítettünk, különböző fenokristályokat keresztezve, egy ARL-SEMQ típusú automata mikroszondával (Naturhistorisches Museum, Wien) a zónás fenokristályok kémiai összetételének és az összetétel változásának pontos megállapítása céljából. Szeparált amfibol és piroxén szemcséket



I., 2. ábra. Elektron mikroszondás keresztezés egy tipikus monoklin piroxénen. A belső mag kémiai összetétele (7–12 elemzések) és a külső zónáké élesen különböznek. Az ordináta tengelyén levő számok egyes elemzésekét, az abszcisszaon levők pedig az összetételeket jelzik a strukturformula egységekre és atomszámokban kifejezve

Figs. 1., 2. Traverse across a typical clinopyroxene. A remarkable change in the composition between the core (analyses No. 7–12) and the outer zones can be observed. Numbers on the axis of ordinate represent individual analyses, those of the abscissa the composition in atoms per formula unit

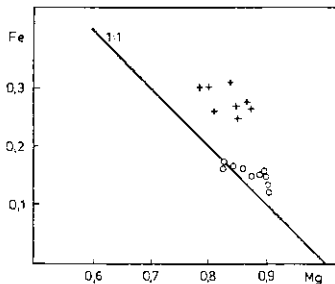


3. ábra. A klinopiroxénök összetétele a Ca—Mg—Fe háromszögben. 1: külső zónák augitos piroxénje, 2: diopszidos belső mag, 3: andezitlávákból származó augitok (Pantó, 1970)

Fig. 3. Composition of the clinopyroxenes in the triangle Ca—Mg—Fe. 1: outer zone augitic pyroxene, 2: diopsidic core, 3: augites from andesite lavas (Pantó, 1970)

szintén elemeztünk klasszikus, nedves kémiai módszerrel (PITTER Gy., Természettudományi Múzeum Ásvány-Készettára).

A zónás piroxénkristályok jellegzetes elektronmikroszondás elemzéseit és préparált szemcsék klasszikus kémiai elemzéseit az I. táblázaton közöljük. Az adatokat látva megállapíthatjuk, hogy a külső és belső zónák között jelentős a különbség. A mag összetétele egy meglehetősen primitív piroxénre utal 0,42% Cr₂O₃-al, 0,1% NiO-tartalommal és alacsony (4,2%) összvas-tartalommal, míg a mg-érték meglehetősen magas (lásd 1. és 2. ábrát). A mag tehát a POOLDEWART és HESS féle Mg—Fe—Ca háromszögben diopszidnak bizonyult ($Mg_{47.7}Fe_{58.8}Ca_{45.5}$) (3. ábra). Ezzel szemben a legkülső szegélyben az FeO ~ 10,0%-ra növekedik, az mg-érték viszont 71,3%-ra csökken. A Ni



4. ábra. A klinopiroxénék strukturformula egységére eső Fe és Mg atomszámának diagramja. Körök: mag, keresztek: szélek piroxénje

Fig. 4. Plot of atoms per formula unit of Fe against Mg in clinopyroxenes. Circles: core, crosses: rim pyroxenes

II. táblázat—Table II.

Amfibol elemzések
Amphibole analyses

	1.	2.	3.	4.	5.	6.	7.	8.	9.	10.	11.	12.	13.	14.	15.
SiO ₄	42,2	43,3	42,9	42,6	43,0	43,5	42,5	43,9	43,1	42,1	42,3	43,4	43,3	42,8	41,85
Al ₂ O ₃	12,8	12,3	12,5	12,5	12,6	12,7	12,3	12,1	12,4	12,8	12,8	12,5	12,0	15,2	15,16
TiO ₂	2,20	1,63	1,82	1,75	1,73	1,84	2,42	1,75	1,67	1,85	1,75	1,59	2,81	1,64	1,85
Cr ₂ O ₃	0,08	0,10	0,04	0,07	0,00	0,01	0,01	0,10	0,10	0,12	0,11	0,11	0,07	0,21	0,00
Fe ₂ O ₃	—	—	—	—	—	—	—	—	—	—	—	—	—	—	4,27
FeO	11,4	9,4	10,9	9,4	9,1	8,7	11,6	8,1	8,7	8,4	8,3	8,2	9,4	7,2	5,06
MnO	0,10	0,09	0,15	0,08	0,00	0,11	0,16	0,04	0,55	0,07	0,04	0,07	0,07	0,10	0,17
MgO	14,3	16,4	14,9	15,8	16,0	16,3	14,3	16,9	16,2	16,4	17,0	16,7	15,9	17,4	14,79
CaO	11,9	11,8	11,6	11,8	11,7	11,8	11,7	11,0	11,8	11,8	11,7	11,8	11,7	11,7	12,09
Na ₂ O	2,23	2,20	2,25	2,11	2,19	2,17	2,27	2,34	2,11	2,24	2,25	2,14	2,48	2,41	2,48
K ₂ O	0,46	0,59	0,57	0,61	0,50	0,62	0,44	0,54	0,52	0,60	0,53	0,62	0,49	0,71	0,79
NiO	0,07	0,06	0,00	0,02	0,06	0,06	0,00	0,02	0,00	0,01	0,08	0,00	0,00	0,00	0,00
Total	97,74	97,90	97,60	96,74	96,97	97,81	97,70	97,29	96,71	97,39	97,31	96,33	98,72	97,45	100,05*
Si	6,197	6,280	6,281	6,257	6,283	6,290	6,243	6,355	6,303	6,253	6,283	6,318	6,223	6,188	6,118
Al ^{IV}	1,803	1,720	1,719	1,743	1,717	1,710	1,757	1,645	1,697	1,745	1,717	1,682	1,777	1,812	1,882
Al ^{VI}	0,413	0,383	0,438	0,421	0,463	0,454	0,472	0,419	0,440	0,445	0,386	0,428	0,425	0,437	0,730
Ti	0,243	0,178	0,200	0,194	0,190	0,200	0,267	0,191	0,184	0,202	0,191	0,174	0,250	0,178	0,203
Ce	0,010	0,011	0,005	0,008	0,000	0,001	0,001	0,011	0,011	0,013	0,013	0,012	0,008	0,024	0,000
Zr ⁴⁺	—	—	—	—	—	—	—	—	—	—	—	—	—	—	0,535
Fe ²⁺	1,400	1,140	1,335	1,185	1,112	1,062	1,425	0,980	1,064	1,020	1,007	0,999	1,130	0,870	0,692
Mn	0,012	0,011	0,018	0,010	0,009	0,013	0,020	0,005	0,006	0,009	0,005	0,008	0,008	0,012	0,020
Mg	3,130	3,545	3,250	3,459	3,483	3,512	3,130	3,645	3,530	3,547	3,676	3,623	3,406	3,749	3,222
Ca	1,873	1,833	1,820	1,857	1,831	1,827	1,843	1,788	1,847	1,835	1,819	1,841	1,802	1,812	1,888
Na	0,635	0,644	0,647	0,601	0,620	0,608	0,647	0,656	0,598	0,631	0,633	0,604	0,691	0,676	0,703
K	0,090	0,109	0,095	0,114	0,110	0,114	0,082	0,100	0,097	0,111	0,098	0,115	0,090	0,181	0,146
Ni	0,009	0,007	0,009	0,003	0,007	0,007	0,007	0,000	0,002	0,007	0,001	0,004	0,000	0,010	0,000
ung	69,1	75,7	70,9	76,0	75,8	77,0	68,7	70,1	76,8	77,7	78,5	78,4	75,1	81,2	77,7

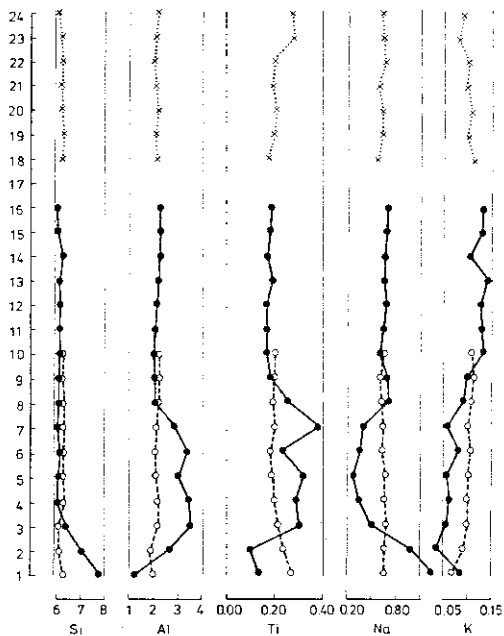
1—6: A Gv-3/B keresztezős elemzései, szélös zóna és mag; 7—12: Gv-3/C szegély és mag; 13: Gv-1/A szegély; 14: Gv-1/A mag; 15: szeparált szemcsék. FeO = összeses, amelyben Fe₂O₃ nincs megadva. * H₂O beszámítva.

No. 1—6: Analyses from traverse Gv-3/B border zone and core; No. 7—12: Gv-3/C rim and core; No. 13: Gv-1/A rim; No. 14: Gv-1/A core; No. 15: separated grains. FeO = total Fe if Fe₂O₃ is not given. * Including H₂O.

és Cr minden össze nyomokban jelentkezik, bár több esetben egyáltalán nem volt észlelhető. A POOLDEWART-HESS-féle háromszögben az augit mezőbe esik ($Mg_{42,1}Fe_{17,6}Ca_{40,9}$). A mérések szerint a külső zónák és a belső mag között átmeneti összetételű zónák vannak. Az I. táblázat 3. elemzése bemutat egy ilyen összetételt 76,5-es mg-értékkel és 8,2% FeO-val. Ez szintén augit ($Mg_{44,5}Fe_{13,7}Ca_{41,8}$). A már említett változásokon kívül, a Ca növekszik a szélső zónáktól a mag irányában, hasonlóképpen a Na is, míg a Si enyhén növekedik a legkülső zónákban. Ezzel szemben, az Al és a Ti meglehetősen szabálytalanul változik, bár a legkülső zónákban úgy tűnik, kisebb a koncentrációjuk. A legfeltűnőbb a Ti és az Al teljesen párhuzamos változása, s kisebb mértékben hasonlóan alakul a Na is, míg a Si úgy tűnik, hogy az ellenkező irányban változik. Hipotetikus szélső molekulákban gondolkodva ez azt jelenti, hogy kisebb helyettesítések jönnek létre az olyan hipotetikus molekulák együttesével, mint a $CaTiAl_2O_6$ (Ti-augit), $NaAlSi_2O_6$ (jadeit) és a $CaAl_2SiO_6$ (Ca-Tschermak molekula). Továbbá némi Fe^{3+} jelenlétére tételezhetünk fel, amire a 4. ábrán látható vas-többletből következtethetünk, különösképpen a külső zónákban. A vasfelesleg talán inkább $CaFe_2^{3+}SiO_2$ -ben (Ca-Tschermak molekula) van jelen, mint akmithan ($NaFe^{3+}Si_2O_6$), mivel a Na csökkenő tendenciát mutat a külső zónákban. Az I. és 2. ábrából az is világosan kitűnik, hogy míg a legkülső zóna és az átmeneti zónák között a változások fokozatosak, a logbelső, világos színű primitív mag határán egy hirtelen összetéti ugrás tapasztalható. Ahogy azt már korábban említettük, a mag és a külső zónák között diszkontinuitás vékonyesiszolatban gyakran megfigyelhető (III. tábla, 2. kép).

Az amfibol kristályok esetében ezzel szemben, az összetéti változások kevésbé jelentősek és lényegesen folyamatosabbak. Egy mérőssorozat (folyamatos vonal az 5. és 6. ábrán) azonban nagymértékű és szabálytalan változásokat mutat, de ez egy opacitos szegélyhől származik. Amfibolkristályok egyes zónáiból készült reprezentatív mikroszonda elemzések, valamint egy szeparált fenokristályokból készült elemzés tanulmányozhatók a II. táblázaton. A nedves kémiai elemzés (ahol a Fe^{2+}/Fe^{3+} arányt is meghatároztuk) eredménye, valamint a legtöbb mikroszonda elemzés alapján jogosnak tűnik a pargasit elnevezés a LEAKE-féle nomenklátrúra szerint, mivel a Si 6,0 körüli értékű, a $Ti < 0,5$, $100 \text{ Mg/Mg} + \Sigma \text{ Fe}$ általában nagyobb, mint 70 és — legalább is a 15. sz. elemzésben — a Fe^{3+} sokkal kisebb, mint az Al^{vi} . A legkülsőbb zónákban azonban az összvas jelentős mértékben megnövekedik, így nagy valószínűséggel a Fe^{3+} is. Következésképpen ezekben a zónákban $Fe^{3+} > Al^{vi}$, s tekintettel arra, hogy növekvő Fe^{3+} mennyiséggel párhuzamosan a $100 \text{ Mg/Mg} + \Sigma \text{ Fe}^{2+}$ szintén nő, e zónál összetétele a Mg-hastingsiténak felelhet meg. Valójában, a vasnak a Mg helyére való egyre növekvő mértékű belépése az egyedüli jelentős kémiai változás, a világos színű magtól a sötét szegély irányában. Emellett a Ti növekvő tendenciát mutat a külső zónákban, a K pedig a magban. A többi clem nemigen változik, különösen a Ca görbéje feltűnően egyenes. Ezzel szemben minden elem jelentősen és szabálytalanul változik az opak szegélyben, ahol üveg is jelen lehet.

Egy plagioklász kristály mikroszondás keresztezésekor normál zónásság volt megállapítható, azaz a magban nagyobb a Ca- és kisebb a Na-tartalom, míg a külsőbb zónákban ennek fordítottja észlelhető. A III. táblázatban bemutatjuk a két legbázisosabb ($Ab_{9,4}An_{90,2}Or_{0,4}$ bázisos bytownit) és két legsavanyúbb ($Ab_{37,5}An_{61,2}Or_{1,2}$ labradorit) plagioklász kristály adatait. A Fedorov-asztalos mérések 73,1% átlagos An-tartalmat szolgáltattak.



Plagiokláz elemzések
Plagioclase analyses

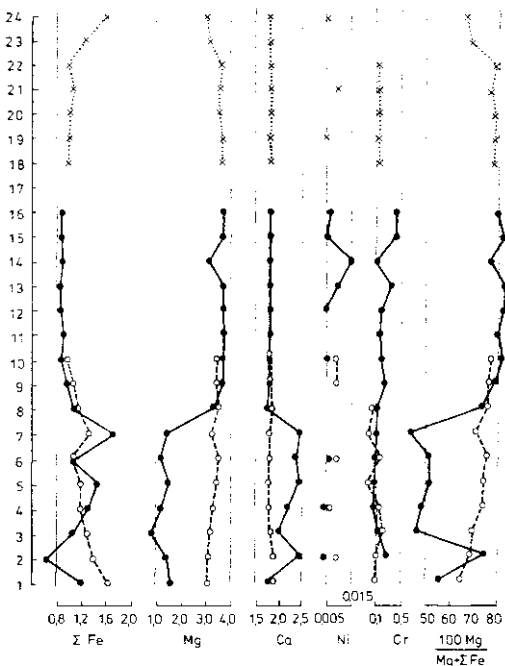
III. táblázat - Table III.

	1.	2.	3.	4.
SiO ₂	54,5	54,8	45,0	49,9
Al ₂ O ₃	27,8	27,9	32,6	26,5
*FeO	0,62	0,75	0,65	0,59
CaO	12,1	12,3	17,6	15,0
Na ₂ O	4,1	3,9	1,01	2,15
K ₂ O	0,31	0,24	0,68	0,24
Total	99,93	99,89	96,95	97,85
Si	9,912	9,916	8,656	9,344
Al	5,960	5,951	7,367	6,311
Fe	0,095	0,113	0,108	0,092
Ca	2,357	2,385	3,055	2,009
Na	1,445	1,368	0,872	0,780
K	0,049	0,036	0,015	0,051
Ab	37,5	35,9	9,4	20,2
An	61,2	62,6	90,2	79,3
Or	1,2	1,6	0,4	1,3

1.-2: Tipikus elemzések a Gv-1/A keresztszélből, szegélyzónában; 3: Gv-1/A mag; 4: Gv-2/B közötti zóna. * összes.

No. 1-2: Representative analyses from traverse Gv-1/A rim; No. 3: Gv-1/A core; No. 4: Gv-2/B intermediate zone.

*Total Fe



5., 6. Ábra. Elektron mikroszonda keresztezés három amfibolkristályon. Pontok: Gv-1/A (1–7: opacitos szegély, 8–16: belső mag); körök: Gv-3/O (külső és belső zónák); keresztek: Gv-3 (külső: 23–24 és belső: 18–22 zónák)
 Figs. 5., 6. Traverse across three amphibole crystals. Dots: traverse Gv-1/A (1–7: opacitic rim, 8–16: core); open circles: traverse Gv-3/O outer and inner zones; crosses: Gv-3/O (outer: 23–24 and inner: 18–22 zones)

Következtetések

A klinopiroxének, amfibolok és plagioklászok nagy gyakorisága, valamint ugyanezen ásványoknak néha aggregátumokban való megjelenése arra utal, hogy ezek a szülő magmából kivált korai, ún. likvidus fázisok. A fenokristályok kémiai tulajdonságaiiból itélve, ennek a szülőmagmának bazaltonnak kellett lennie, amire elsősorban a legtöbb zónában észlelhető magas mg-értékből ($100 \text{ Mg}/\text{Mg} + \Sigma \text{Fe}$) következtethetünk. Ez meglepő, mivel a felszínen található legbázisosabb lávák egyértelműen andezit jellegűek. Valóban, a Börzsöny-hegység közéltalkotó ásványai nagymértékben különböznek ezektől. Néhány börzsönyi láva amfibol és piroxén fenokristályáról készült parciális mikroszonda elemzés (PANTÓ, 1970) eredményeivel összehasonlítva azt

láthatjuk, hogy az előbbiek fenokristályai lényegesen nagyobb vastartalmú olvadékból keilett kiváljanak (két piroxén mikroszonda-kereszteséből 70–76 és 60–71 mg-értékeket kapunk és az amfibolok különösen gazdagok vasban, minden össze 36–66 és 40–64-es mg-értékekkel). Továbbá, ezek az amfibolok kisebb Ca-tartalmúak, mint az e munkában szereplők. Ugyanez érvényes a földpátkakra is: több száz Fedorov-asztalos mérés (NOSKENÉ FAZEKAS G. 1972, 1974, 1977, 1979, 1980) azt bizonyítja, hogy az andezitlávák plagioklász kristályai átlagban csak 63,7%-os An komponensük, a piroxénandezitben max. 70,8%-os An-tartalommal.

Vizsgálataink alapján bizonyítottanak tűnik, hogy a godóvári tufa fenokristályai egy jóval bázisosabb magma szgregátumai, mint amilyenekből a Börzsöny-hegység ismert andezitjei képződtek. Ez különösen a piroxének Cr-diopszid magjára vonatkozik, amely még az átlagnál is Mg- és Cr-dúsabb magmából képződött. Mivel a piroxének Ti- és Na-tartalma alacsony, alkáli bazalt szülőmagma kizáráható, ezzel szemben egy szigetiv típusú bazaltos szülőmagma feltételezése ésszerűnek látszik. Ilyen bazalt meglehetősen gyakori más hasonló környezetben és a Börzsöny-hegység micszalkálai (alkáli index = 59,5) sorozatával kapcsolatban, nagyobb mélységben tételezhető fel. A piroxén analízisekből számolt CIPW-normák is tholeiites rokonságot bizonyítanak (IV. táblázat). Az amfibolok szintén lényegesen kevésbé telítetlenek, mint a Ti-tartalmú pargasitok és kaersutitok, amelyek alkáli bazalt olvadékból keletkeztek, pl. BROOKS & PLATT (1975) és EMBEY-JSZTIN (1976).

A világos színű, Cr-tartalmú primitív piroxénmag kristályosodási mélységet illetően csupán durva beesléssel lehetünk. A nagyobb Al^{VI}-tartalom (átlag 0,068 Al^{VI}), amelyet általában Ca-Tschermak molekula formájában tételeznek fel (CaAl₂SiO₆) és amelynek mennyisége növekszik az emelkedő nyomással az An rovására, jelentősebb mélységben való kristályosodást jelez. Sajnálatos módon, piroxén szélső molekulákat a mikroszonda vizsgálatok Fe³⁺ meg-

Klinopiroxének és amfibolok CIPW normái
CIPW-norms of clinopyroxenes and amphiboles

IV. táblázat – Table IV.

	1.	2.	3.	4.	5.	6.	7.	8.
mg	71,3	76,4	83,1	87,6	65,4	68,7	70,5	81,5
Q	0,00	0,00	0,00	0,00	0,00	0,00	0,00	0,00
or	0,56	0,00	0,56	0,00	2,23	2,78	4,45	
ab	1,57	1,67	2,62	2,10	13,11	7,54	6,82	0,78
an	3,62	6,68	8,07	5,84	19,20	23,26	23,09	23,65
ne	0,00	0,00	0,00	0,00	4,49	6,25	6,82	15,50
di	35,32	58,80	41,59	43,89	14,75	14,99	13,94	14,40
Mg	21,89	26,00	30,82	33,13	11,13	11,76	10,74	11,55
Fe	11,35	9,90	7,30	6,29	2,11	1,58	1,72	1,19
hy	15,26	5,22	8,03	3,21	0,00	0,00	0,00	0,00
Mg	7,78	1,98	1,85	0,40	0,09	0,00	0,00	0,00
ol	0,00	5,02	0,00	3,00	16,23	16,73	17,94	21,74
mt	0,09	2,14	0,00	0,50	3,26	2,53	3,36	1,02
il	0,09	0,00	0,00	0,00	0,31	7,41	6,47	3,70
	0,61	0,01	1,06	0,61	4,55	4,55	2,45	2,94

T–5: Klinopiroxének; 5–8: amfibolok, 0,34-es Fe³⁺/Fe²⁺ arányt tételezünk fel minden amfibolból (a 15. számú elemzés alapján), a munckán piroxéneken pedig a Fe³⁺-at nem vettük figyelembe.

1–4: Olímpyroxének; 5–8: Amphibolok. An Fe³⁺/Fe²⁺ ratio of 0,34 (from the analysis No. 15) was assumed in every amphibole, whereas no Fe³⁺ was taken into consideration in the case of clinopyroxenes.

határozása hiányában nem lehetett kiszámítani. Ennek ellenére, a primitív Cr-diopszidos piroxén magnak hasonlósága más, ismert Fe^{3+} -tartalmú Cr-diopszidos piroxénekhez (MUNOZ és SAGREDO, 1974), azt támasztja alá, hogy a mag piroxénjének szintén nagyobb $\text{CaAl}_2\text{Si}_3\text{O}_8 + \text{NaAlSi}_3\text{O}_8/\text{CaFeAlSi}_3\text{O}_8$ hánnyadosa kell legyen. Ilyen piroxénekről általában feltételezik, hogy jelentősebb nyomás mellett keletkeztek, kb. 5–10 kilobáron (18–35 km körül), aszerint, hogy az említett szélső molekula aránya hogyan változik (KUSHIRO, 1962, 1969; YAGI és ONUMA, 1967; AOKI, 1970). Ezért azzal a feltevéssel élünk, hogy a legelső primitív diopszidos mag kb. 18 km-nél nagyobb mélységben keletkezett.

A klinopiroxének külső zónáiban tapasztalható hirtelen kémiai változás, valamint az amfibolnak és a plagioklásznak kezdetű kiválása, egy, az előzőktől különböző fiziko-kémiai állapotú magma kamrában való fejlődést valószínűsít. Nevezetesen a $\text{p}_{\text{H}_2\text{O}}$ -nak növekednie kellett vagy a kristályosodás előrehaladtának következtében, vagy (és) a környező nedves üledékes kőzetkből víz- és könnyenillők felvételle történt. Ez utóbbi magma kamra lényegesen sekélyebb mélységben kellett elhelyezkedjék, mint az előző, ahonnan a Cr-diopszidos mag kivált és a kettő egy szűk csatornával lehetett összekötve. Az Al^{VI} -nak a külső zónában való csökkenése (átlag 0,045 Al^{VI}) a magbeli 0,068 Al^{VI} értékkel szemben, kisebb nyomásra utal. Annak a magma kamrának a minimális mélysége, amelyből pargasit fenokristályok váthatnak ki, az amfibolnak bazaltos olvadékokban levő alsó stabilitási görbékéből becsülhető meg. HOLLOWAY és BURNHAM (1972) a Kilauea 1921. évi olivin-tholeiit amfibol-jának stabilitási viszonyait vizsgálták, a teljes nyomásnál kisebb vízgőznyomásnál ($f_{\text{H}_2\text{O}} \approx 0,6 / f_{\text{H}_2\text{O}}$), amely igen valószínű állapot természetes geológiai környezetben. A 3. sz. ábrájukon (12. o.) a szolidusz az amfibolok felső stabilitási görbékét kb. 1,4 kbár nyomásnál keresztezi, azaz ~ 5 km mélységen és 950 °C-nál, így tehát 5 km-es minimális mélység megfelelőnek tűnik az amfibolok kiválására bazaltos olvadékból. YODER és TILLEY (1962), továbbá HOLLOWAY és BURNHAM (1972) azt is kímutatták, hogy 3 kbar nyomáshatárig (~ 11 –12 km mélységgig) a plagioklász megelőzi az amfibol a kristályosodási sorrendben. Tekintettel arra, hogy az amfibol kristályosodása, legalábbis részben, megelőzte a plagioklászokét, 12–15 km-es képződési mélység és 1000 °C körüli hőmérséklet talán megfelelő becslés a pargasit kristályok keletkezésére.

Táblamagyarázat — Explanation of Plates

I. tábla—Plate I.

1. A godóvári kristálytufa egy részlete.
A detail of the Godóvár crystal tuff.
2. Idiomorf amfibol kristály belüli világosabb, szélén sötétebb színnel, legkülvől opacitos szegéllyel.
Idiomorphic amphibole crystal, inside lighter, outside darker coloured, overlapped by a thin opaque rim.

II. tábla—Plate II.

1. Vastag, sötétbarna szegély amfibolkristályban.
Thick, dark brown rim in an amphibole crystal.
2. Oszcilláló zónásság amfibolkristályban.
Oscillatory zoning in an amphibole crystal.

III. tábla – Plate III.

1. Színzónásság klinopiroxénben.
Colour zoning in clinopyroxene.
2. Világos színű, euhédralis diopszidos mag, vastag zöld augitos szegéllyel.
Light coloured euhedral diopside core overgrown by a thick, green augitic rim.

IV. tábla – Plate IV.

1. Egyénnal szabálytalanul összenőtt klinopiroxén (baloldalt) és amfibolkristály (jobboldalt).
Juxtaposed clinopyroxene (left) and amphibole (right). No parallel crystallographic axes can be observed.
2. Rezorbeálódott monoklin piroxén amfibol továbbnövekedéssel.
Corroded clinopyroxene core overgrown by amphibole.

Irodalom – References

- AOKI, K. (1970): Petrology of kaersutite-bearing ultramafic and mafic inclusions in Iki Island, Japan — Contr. Min. Petr. 25, pp. 270–283.
- BALLA Z. – KÖRÖS L. (1980): A Börzsöny hegység vulkáni szerkezete és fejlődéstörténete. — Földt. Int. Évi Jel. 1978, évről, pp. 75–101.
- Brooks, C. K. – PLATT, R. G. (1975): Kaersutite-bearing gabbroic inclusions and the late dike swarm of Kangerdlugssuk, East Greenland — Min. Mag. 40, pp. 259–283.
- EMBEY-ISZTIN A. (1976): Amphibolite/herzolite composite xenolith from Szigliget, north of the Lake Balaton, Hungary. — Earth Planet. Sci. Lett. 31, pp. 297–304.
- PERENETZ J. (1985): Adatok a Börzsöny hegység geológiajáról — Földt. Int. Évi Jel. 1925–28. évről, pp. 131–143.
- HOLLOWAY, JR. – BURNHAM, C. W. (1972): Melting relations of basalts with equilibrium water pressure less than total pressure — J. Petrology 13, pp. 1–29.
- KUSHIRO, I. (1962): Clinopyroxene solid solutions. Part I. The CaAl₂SiO₆ component — Japan Journ. Geol. Geogr. 33, pp. 212–220.
- KUSHIRO, I. (1969): Clinopyroxene solid solutions formed by reactions between diopside and plagioclase at high pressures — Min. Soc. Amer. Spec. Paper. 2, pp. 179–191.
- LEAKE, B. E. (1978): Nomenclature of amphiboles — Min. Mag. 42, pp. 533–563.
- LJFFA A. – VIGH Gy. (1937): Adatok a Börzsöny-hegység bányageológiájához — Földt. Int. Évi Jel. 1930–32. évről, pp. 235–283.
- MUNOZ, M. – SACREDO, J. (1974): Clinopyroxenes as geobarometric indicators in mafic and ultramafic rocks from the Canary Islands — Contr. Min. Petr. 32, pp. 139–147.
- NOSKE-FAZEKAS G. (1972): Feldspatuntersuchungen an den Andesiten des Südteiles des Börzsöny-Gebirges — Ann. Hist.-Nat. Mus. Nat. Hung. 64, pp. 5–17.
- NOSKE-FAZEKAS G. (1974): Feldspatuntersuchungen an den Dazitvorkommen des Südteiles des Börzsöny-Gebirges — Pragm. Min. et Pal. 5, pp. 5–19.
- NOSKE-FAZEKAS G. (1977): Feldspatuntersuchungen am Andesitvorkommen des Róka-Berges bei Szokolya (Ungarn) — Ann. Hist.-Nat. Mus. Nat. Hung. 69, pp. 13–21.
- NOSKE-FAZEKAS G. (1979): Einige Daten zur optischen Untersuchung von Andesiten des Börzsöny-Gebirges, Ungarn — Ann. Hist.-Nat. Mus. Nat. Hung. 71, pp. 5–14.
- NOSKE-FAZEKAS G. (1980): Statistical investigations of plagioclase twin laws in lavas erupted between the Danube and the Central Börzsöny Mountains (Hungary) — Ann. Hist.-Nat. Mus. Nat. Hung. 72, pp. 11–18.
- PANTÓ Gy. (1970): Vulkanológiai vizsgálatok a Mótrában és a Börzsönyben. II. rész. A Börzsöny hegység északi részének harmadikszakai vulkanizmusára. Akadémiai Kiadó, Budapest, pp. 183–302.
- PAFF F. (1933): A Börzsöny hegység eruptív közétele — Mat. és Term. Tud. Ált. 49, pp. 431–462.
- SZENTPÉTERY Zs. (1926): Petrogenetische Beobachtungen an den Andesiten des Börzsöny-Gebirges — Acta Litt. Ac. Sc. Sectio Scientiarum Nat. 2. Szeged, pp. 117–130.
- VAGI, K. – ONTEKA, K. (1967): The join CaMgSi₂O₆–CaTiAl₂O₆ and its bearing on the titanomagnetites — Journ. Fac. Sci. Hokkaido Univ. ser. 4., 13, pp. 463–483.
- YODER, H. S. – THAYER, C. R. (1962): Origin of basaltic magmas: an experimental study of natural and synthetic rock systems — J. Petrology 3, pp. 342–542.

A kézirat beérkezett: 1983. I.

Data on the presence of basaltic magmatites at greater depth
in the Börzsöny Mts., N Hungary

Dr. Antal Embey-Isztin and Dr. Gabriella Noske-Fazekas

The volcanic tuff of Godóvár, central part of the Börzsöny Mts. contains numerous large phenocrysts of amphibole up to 2 cm long, smaller pyroxene up to 0.8 cm long and even smaller plagioclase crystals, 1–4 mm long. Because of the considerable frequency of the crystals, the rock of Godóvár may be designated as a crystal tuff (Plate I, Fig. 1).

Macroscopically the amphibole is black, whereas in the microscope it is brown with a strong pleochroism (α = yellow, β = brown, γ = dark brown) and $\gamma/C = 8-18\%$. Smaller crystals can be completely euhedral, but larger ones are often subhedral with traces of resorption. In addition, crystals show optical zoning generally with a darker coloured rim overlapping a lighter coloured core (Plate II, Fig. 1).

The monoclinic pyroxene also exhibits differences in colour between rim and core which is more easy to see macroscopically than in thin section. The core is pale green, surrounded by a darker green rim. In thin section, the core is almost colourless and the rim is pale green, $\gamma/C = 30-38\%$, and at the border zones it is little smaller. Like the amphiboles, individual pyroxene grains show different zoning patterns. There are for example completely homogenous crystals with only a thin darker coloured rim, then in a few cases the small core and the large rim is clearly separated by perfectly formed crystal faces suggesting perhaps that the growing of the crystal was not continuous (Plate III, Fig. 2).

On the basis of a careful study of the textural features the following order of crystallization seems to be justified: oxides, clinopyroxene, amphibole, plagioclase. However overlapping between the crystallization intervals of pyroxene and amphibole, as well as of amphibole and plagioclase is very likely.

An extensive study by the aid of an ERL-SMQ automated electron microprobe has revealed that clinopyroxenes exhibit a primitive Cr-diopsidic ($Mg_{48}Fe_2Ca_{44}$) core that contains some Ni and Cr_2O_3 up to 0.42 per cent (Table 1) an augitic rim ($Mg_{44}Fe_{14}Ca_{42}$) with no or only traces of Ni and Cr. The behaviour of other elements can be studied in Fig. 1 and 2.

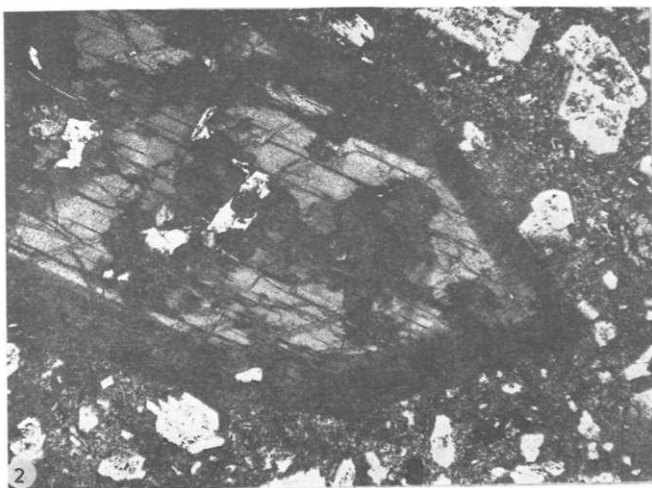
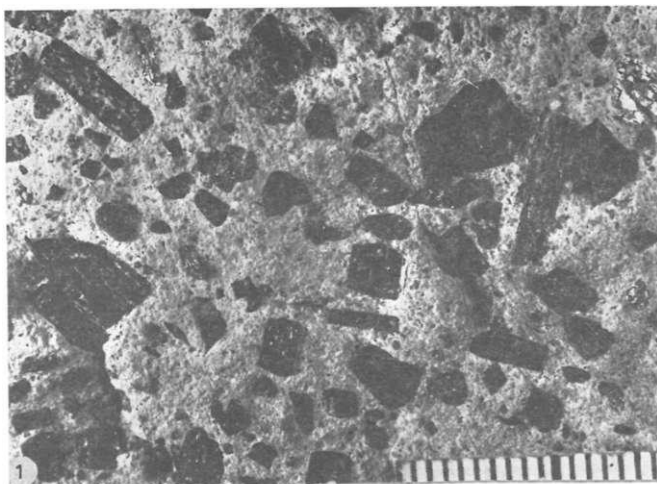
No such abrupt change in the composition can be observed in amphibole crystals which are typical pargasites and only the outermost zones may pass into the magnesio-hastingsite field (Table 2). As a matter of fact, the only important chemical variation is that of the increasing substitution of Fe for Mg proceeding from the light coloured core to the dark brown rim. Besides this, Ti tends to increase slightly in the outer zones and K in the core. The other elements do not vary much, especially the curve of Ca is remarkably smooth. In contrast, all elements change considerably and in a rather irregular manner in the opaque rim where vitreous material may also be present (Fig. 5, 6).

As to the genesis of the large phenocrysts, we can state that the high concentration of clinopyroxene, amphibole and plagioclase indicates that they are early liquidus phases crystallizing from the parent magma. The nature of this parent magma must have been basaltic judging from the chemical features of the phenocrysts, especially from their high 100 $Mg/Mg + 2Fe$ (mg-values) in most zones. This is surprising since the most basic lavas present on the surface are clearly of andesitic nature. Indeed, rock forming minerals analysed earlier from the Börzsöny andesites seem to be very different chemically (see for comparison Fig. 3 and Pantó, 1970; Noske- Fazekas, 1972, 1974, 1977, 1979, 1980). It seems thus firmly established that the phenocrysts of the Godóvar crystal tuff must have segregated from a more basic magma than the known andesitic lavas of the Börzsöny Mts. This is especially true for the chromian diopside cores of pyroxenes. Since the pyroxenes are low in Ti and Na, an alkali basalt parent can be ruled out. Whereas a primitive volcanic are parent basalt seems to be a reasonable assumption.

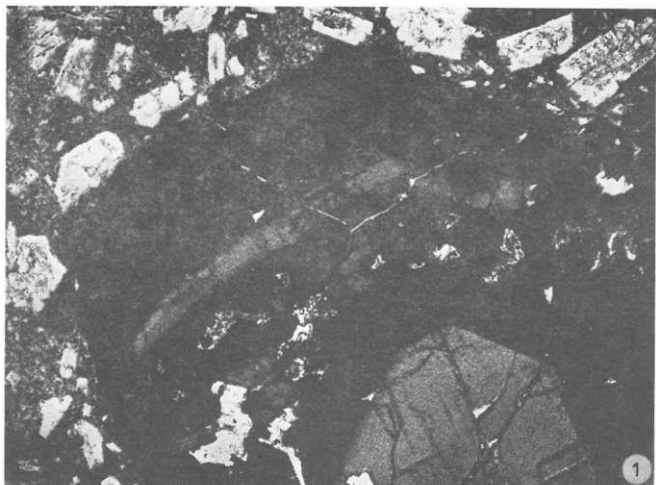
Only a rough estimate can be advanced as to the depth of crystallization of the primitive light coloured Cr-bearing pyroxene core. The higher amount of Al^{VI} (on average 0.068^{VI}) probably in the form of Ca-Tschermak's molecule is indicative of crystallization at considerable depth ranging from about 18 to 35 km. The abrupt change in the chemistry of the outer zones in clinopyroxene and the joining of amphibole and plagioclase as cumulus phases suggest an evolution in a storage chamber with different physico-chemical conditions. From the lower values of Al^{VI} in the outer zones of pyroxenes (0.045 Al^{VI} on average) as well as from considerations on the stability relations of amphibole in basaltic liquids and the order of crystallization, a depth around 12 - 15 km for this secondary storage chamber has been postulated.

Manuscript received: Jan. 1983.

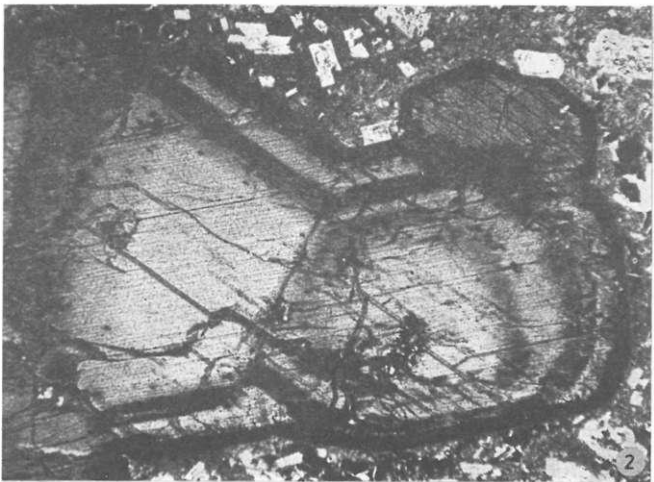
Address of the Authors:
Museum of Nat. History
Dept. Mineralogy-Petrography
H-1088 Budapest VIII.
Múzeum körút 14-16.



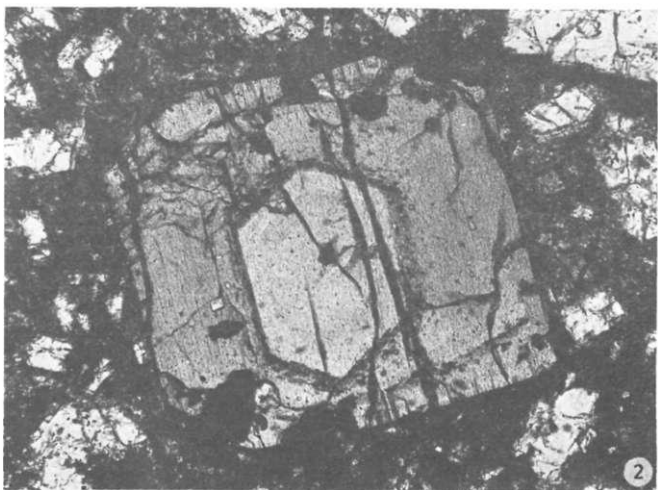
II. tábla—Plate II.



1



2



IV. tábla—Plate IV.

